

05; 09

© 1990 г.

## ДИНАМИЧЕСКИЕ СВОЙСТВА СКРУЧЕННЫХ ВЕРТИКАЛЬНЫХ БЛОХОВСКИХ ЛИНИЙ В ДОМЕННЫХ ГРАНИЦАХ МАГНИТНЫХ ПЛЕНОК

Г. Е. Ходенков

Рассматриваются ВБЛ в скрученных ДГ магнитных пленок с большой перпендикулярной одноосной анизотропией. Получены уравнения движения скрученных ВБЛ и на их основании оценены динамические параметры ВБЛ: подвижность, масса, продольный и поперечный пространственный изгиб. Обсуждается влияние скрученности на область устойчивой работы памяти на ВБЛ.

Сверхплотная интегральная память на ВБЛ по С. Кониси (1983 г.) — одно из современных направлений магнитной микроэлектроники (более ранняя попытка в [1]), и здесь, как и для всякого запоминающего устройства, возникает задача построения области устойчивой работы (ОУР). Свойства нескрученных ВБЛ достаточно хорошо изучены [2]. Построение ОУР сдвигового регистра памяти, которым служит ДГ с перемещаемыми в ней по ячейкам ВБЛ, наиболее эффективно в рамках «сокращенных» уравнений [3-5] (см. также [6-8]). Подход на основании уравнений Слончевского или тем более Ландау—Лифшица требует больших затрат времени ЭВМ.

Следует помнить однако, что в пленках с перпендикулярной анизотропией ДГ вместе с содержащимися в них ВБЛ скручены [2]. Степень скрученности определяется параметром  $\varepsilon = (2\Lambda)/h \equiv l/(\sqrt{Q}h)$  ( $\Lambda$  — ширина ВБЛ,  $h$  — толщина пленки,  $l$  — характеристическая длина,  $Q$  — фактор качества). Хотя для ВБЛ памяти рекомендуется уменьшение  $h$  [9] ( $l/h = 0.25$  [7]) по сравнению с ЦМД памятью ( $l/h \sim 0.1$ ), параметр  $\varepsilon$  остается малым и, следовательно, скрученность большая. Подавляющее большинство работ по скрученности носит сугубо численный характер. Укажем только на [10], где численно моделировалось прохождение  $360^\circ$  скрученных пар ВБЛ — единиц информации в ЗУ по сдвиговому регистру. В качестве исключений из этого ряда можно указать на [11] (оценка массы скрученной ВБЛ) и [12] (взаимодействие между ВБЛ и их статика в магнитных полях). Динамические свойства скрученных ВБЛ остаются тем не менее во многом не освещенными. Цель настоящей работы — получить уравнения движения скрученных ВБЛ, аналогичные полученным в [3-5] для нескрученного случая, и оценить влияние скрученности на их динамические свойства и ОУР памяти.

Для скрученной ДГ (рис. 1) уравнения Слончевского для азимутального угла  $\psi(x, z, t)$  намагниченности  $M$  в центре ДГ  $q(x, z, t)$  запишем в безразмерном виде

$$\psi_{,t} + \alpha q_{,t} = q_{,xx} + \varepsilon^2 q_{,zz} - \varepsilon^2 (q - Vt), \quad (1.1)$$

$$q_{,t} - \alpha \psi_{,t} - H_x \sin \psi = -\psi_{,xx} - \varepsilon^2 \psi_{,zz} + [\sin \psi - H_y(z)] \cos \psi = 0 \quad (1.2)$$

с граничными условиями на поверхностях пленки  $q_{,z}(x, z = \pm 1) = \psi_{,z}(x, z = \pm 1, t) = 0$ . Здесь использованы следующие переходы к безразмерному положению ДГ  $q$ , координатам в плоскости ДГ  $x$  и  $z$ , времени  $t$ , полю размагничивания

$H_y(z) = \text{Arth } z$ , нормальному плоскости ДГ и вызывающему скрученность; магнитному полю вдоль ДГ  $H_x$ :

$$q \rightarrow \frac{q}{\Delta}, \quad x \rightarrow \frac{x}{\Lambda}, \quad z \rightarrow \frac{2z}{h}, \quad t \rightarrow t(4\pi\gamma M), \quad H_{x,y} \rightarrow \frac{H_{xy}}{8M}, \quad (2)$$

где  $\Delta, \Lambda$  — ширины ДГ и ВБЛ, причем  $\Lambda = \Delta \sqrt{Q}$ ,  $\epsilon = 2\Lambda/h < 1$ ,  $\gamma > 0$  — магнитомеханическое отношение,  $\alpha > 0$  — параметр затухания Гильберта.

Таким образом, скорость ДГ  $V$  измеряется в единицах  $4\pi\gamma M\Delta$  (скорость Уокера в этих единицах 1/2), скорость ВБЛ вдоль координаты  $x$  —  $4\pi\gamma M\Lambda$ . Предполагается, что ДГ стабилизирована относительно продольных изгибов внешним магнитным полем  $H_x = H'_y$  (рис. 1), которое продвигается вместе с ДГ с некоторой постоянной малой скоростью  $V$ , которая не превышает пиковую скорость Слончевского. Параметр жесткости ДГ —  $\chi^2 = H'\Delta/4\pi M$ .

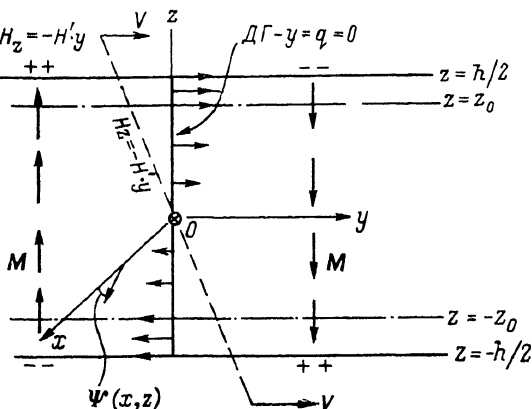


Рис. 1. Скрученная ДГ в магнитной пленке.

Фрагмент статического периодического распределения ВБЛ в скрученной ДГ схематически показан на рис. 2. На пространственном периоде по оси  $x$  имеются две скрученные ВБЛ с производной одного знака  $\psi_{,x}(x, z) > 0$ , которые различаются расположением  $360^\circ$  участков, выходящих на противоположные поверхности пленки.

Нескрученному случаю отвечают сечения  $z=0$  и однородность по  $z$  конфигураций ВБЛ1 и ВБЛ2. Статическая скрученная структура определяется уравнением

$$q^{(0)} = 0, \quad -\psi_{,xx}^{(0)} - \epsilon^2 \psi_{,zz}^{(0)} + [\sin \psi^{(0)} - H_y(z)] \cos \psi^{(0)} = 0. \quad (3)$$

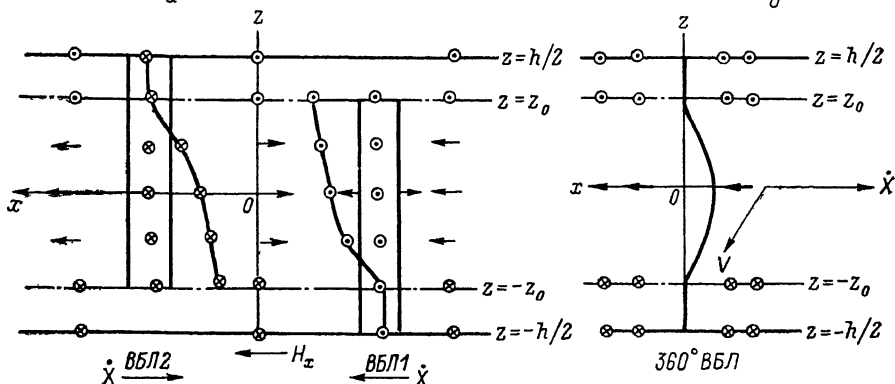


Рис. 2.

$a$  — скрученные ВБЛ и их изгибы в поле  $H_x$ ,  $b$  — динамический изгиб пары ВБЛ в движущейся равномерно ДГ.

Какие-либо аналитические решения (3) неизвестны, но в отвечающем реальности приближении  $\epsilon^2 = 0$  для ВБЛ1 (помещенной в начало координат) имеем непрерывное по  $z$  решение

$$\cos \psi^{(0)} = \begin{cases} \frac{-2\sqrt{H(H+1)} \operatorname{sh}(x\sqrt{-H-1})}{1 + H \operatorname{ch}^2(x\sqrt{-H-1})} & -1 \leq z \leq -z_0, \\ & (-\infty < H < -1) \end{cases} \quad (4.1)$$

$$\cos \psi^{(0)} = \begin{cases} -\frac{\sqrt{1-H^2} \operatorname{sh}(x\sqrt{1-H^2})}{H + \operatorname{ch}(x\sqrt{1-H^2})} & -z_0 \leq z \leq z_0, \\ & (1 \leq H \leq 1) \end{cases} \quad (4.2)$$

в котором  $H = H_y(z) = \text{Arth } z$  — скручивающее поле.

Важную роль в теории скрученности играют так называемые критические линии  $z = \pm z_0$  ( $H_y(\pm z_0) = \pm 1$ ,  $z_0 = \text{th}1$ ), на которых решения (3) почти лабильны. В последующем необходимо также значение  $\psi_{,x}^{(0)}$  от составного решения (4), усредненное по  $x$ ,

$$\overline{\psi_{,x}^{(0)}} = \psi(x = \infty, z) - \psi(x = -\infty, z) = \begin{cases} 2\pi & -1 \leq z \leq -z_0, \\ 4 \operatorname{artg} \sqrt{\frac{1-H}{1+H}} & -z_0 \leq z \leq z_0. \end{cases} \quad (5.1)$$

$$(5.2)$$

Оно зависит от  $z$ , как и локальный топологический заряд ВБЛ,

$$s(x) = \psi_{,x}/\pi. \quad (6)$$

Здесь и в последующем черта сверху означает интегрирование в пределах  $-\infty < x < \infty$ . Соответствующие величины для ВБЛ2 получаются после учета симметрии по  $z$ . Решения (4), (5) хорошо описывают истинное в меру малости  $\epsilon$ , за исключением малых областей вблизи критических линий  $z = \pm z_0$  и поверхностей пленки  $z = \pm 1$ .

Переходя к динамическому случаю, ограничимся сначала двумя стационарными режимами движения: прямым продвижением ВБЛ внешним магнитным полем вдоль ДГ  $H_x < 1$  и гиротропным продвижением, когда ДГ перемещается равномерно со скоростью  $V < 1$  вместе с движущимся градиентным полем  $H_x = -H'_y$ . Решения системы (1) ищем в виде следующих рядов:

$$q = Vt - \frac{\alpha V}{x^2} + q^{(1)}(x - X(z, t), z) + \dots, \quad (7.1)$$

$$\psi = \psi^{(0)}(x - X(z, t), z) + \psi^{(1)}(x - X(z, t), z) + \dots, \quad (7.2)$$

в которых  $X(z, t)$  — искомая неизвестная функция, определяющая скорость и изгиб ВБЛ в плоскости ДГ  $xz$ ;  $\psi^{(0)}(x, z)$  — статическое решение (1) (см. (3));  $\alpha V/x^2$  — фазовое отставание ДГ от движущего градиентного поля;  $q^{(1)}$  — поперечный прогиб ДГ по оси  $y$ .

Малые величины  $q^{(1)}$ ,  $\psi^{(1)} \sim H_x$ ,  $V \ll 1$  (причем также малы  $X_{,t}$ ,  $X_{,z} \sim H_x$ ,  $V$ ) находятся в первом исчезающем приближении из уравнений

$$-X_{,t} \psi_{,x}^{(0)} = q_{,xx}^{(1)} + \epsilon^2 q_{,xx}^{(1)} - x^2 q^{(1)}, \quad (8.1)$$

$$V + \alpha X_{,t} \psi_{,x}^{(0)} - H_x \sin \psi^{(0)} - \epsilon^2 (2\psi_{,xx}^{(0)} X_{,z} + \psi_{,x}^{(0)} X_{,zz}) = \hat{L} \psi^{(1)}. \quad (8.2)$$

Члены  $\sim \epsilon^2$  в левой части (8.2) возникли вследствие неявной зависимости  $\psi^{(0)}(x - X, z)$  от  $z$  через  $X(z, t)$  после введения новой независимой переменной  $x - X$  вместо  $x$ . Самосопряженный оператор  $\hat{L}$  в правой части (8.2) имеет вид

$$\hat{L} = -\epsilon^2 \frac{\partial^2}{\partial x^2} - \frac{\partial^2}{\partial x^2} + \cos 2\psi^{(0)} + H_y(z) \sin \psi^{(0)}. \quad (9)$$

Так как исходная система (1) в силу трансляционной инвариантности не зависит явно от  $x$ , то оператор  $\hat{L}$  особый:  $\hat{L} \psi_{,x}^{(0)} = 0$ . Поэтому неоднородная задача (8.2) по альтернативе Фредгольма разрешима, если неоднородность в левой части будет ортогональна  $\psi_{,x}^{(0)}$  по двум независимым переменным. Но задача останется разрешимой, если вместо ортогональности по двум переменным, как это сделано в [11], потребовать лишь ортогональности по  $x$  и специального выбора  $X(z, t)$  с помощью возникающего уравнения. Требуемое по Фредгольму обращение в нуль левой части (8.2) будет выполнено, если удовлетворяется следующее уравнение скрученных ВБЛ:

$$\epsilon^2 [X_{,z} \overline{(\psi_{,x}^{(0)})^2}]_{,z} = V \overline{\psi_{,x}^{(0)}} - H_x \overline{(\sin \psi^{(0)} \psi_{,x}^{(0)})} + \alpha X_{,t} \overline{(\psi_{,x}^{(0)})^2}. \quad (10)$$

Граничные условия к (10) определяются из таковых для (1):  $X_{,z}(z = \pm 1, t) = 0$ . Решив (10) относительно  $X(z, t)$ , с помощью (8.1) определяем поперечный прогиб ДГ  $q^{(1)}(x, z)$ , пропорциональный гиротропной реакции  $X_{,t}$  движущейся ВБЛ. Коэффициенты (10) — функции  $z$ ; поскольку аналитические выражения

для них неизвестны, то для их вычисления воспользуемся выражениями (4) в приближении  $\epsilon^2=0$ . Имеем для ВБЛ1

$$\overline{(\psi_{,z}^{(0)})^2} = \begin{cases} 4 \left[ \sqrt{-1-H} - H \operatorname{arctg} \sqrt{-1-H} \right] & -1 \leq z \leq -z_0, \\ 2 \left[ \sqrt{1-H^2} - 2H \operatorname{arctg} \sqrt{\frac{1-H}{1+H}} \right] & -z_0 \leq z \leq z_0, \end{cases} \quad (11.1)$$

$$\overline{(\psi_{,z}^{(0)})^2} = \begin{cases} 4 \left[ \sqrt{-1-H} - H \operatorname{arctg} \sqrt{-1-H} \right] & -1 \leq z \leq -z_0, \\ 2 \left[ \sqrt{1-H^2} - 2H \operatorname{arctg} \sqrt{\frac{1-H}{1+H}} \right] & -z_0 \leq z \leq z_0, \end{cases} \quad (11.2)$$

а также

$$\overline{\sin \psi^{(0)} \psi_{,z}^{(0)}} = \begin{cases} 0 & |z_0| \leq |z| \leq 1, \\ 2\sqrt{1-H^2} & -z_0 \leq z \leq z_0, \end{cases} \quad (12.1)$$

$$\overline{\sin \psi^{(0)} \psi_{,z}^{(0)}} = \begin{cases} 0 & |z_0| \leq |z| \leq 1, \\ 2\sqrt{1-H^2} & -z_0 \leq z \leq z_0, \end{cases} \quad (12.2)$$

где, напомним,  $H=H_y(z)=\operatorname{Arth} z$ .

Величина (12) определяет нескомпенсированный «магнитный заряд» ВБЛ1 [12], суммарный заряд ВБЛ1+ВБЛ2=0. Уравнение (10) справедливо и для ВБЛ2, и для 360° пары, если в соответствии с симметрией по  $z$  модифицировать коэффициенты в уравнении (10).

Решение линейного уравнения (10) ищем в виде  $X(z, t) = \dot{X}t + X(z)$ , где  $\dot{X}$  — скорость скрученной ВБЛ как целого, а  $X(z)$  — ее динамическая форма. Граничное условие для ВБЛ1 при  $z=1$  в приближении  $\epsilon^2=0$  приходится заменять на подходящее условия при  $z=z_0$ . Вновь задача содержит самосопряженный особый оператор, на этот раз в левой части (10). Так как его нулевая собственная функция  $X_0=1/\sqrt{2}$ , то из условия ортогональности получаем скорость ВБЛ

$$\dot{X} = [H_x (\overline{\sin \psi^{(0)} \psi_{,z}^{(0)}}) - V \psi_{,z}^{(0)}] / (\alpha \cdot \overline{(\psi_{,z}^{(0)})^2}), \quad (13)$$

где вторая черта сверху означает интегрирование в пределах  $-1 \leq z \leq 1$ .

Если иметь в виду ВБЛ1, то в приближении  $\epsilon^2=0$

$$\overline{(\psi_{,z}^{(0)})^2} = 2\pi; \quad \overline{\sin \psi^{(0)} \psi_{,z}^{(0)}} \simeq 4 \cdot 0.6; \quad \overline{(\psi_{,z}^{(0)})^2} \simeq 4 \cdot 3/2. \quad (14)$$

Восстанавливая размерности, получаем

$$\dot{X} = -\frac{2}{3} \left( \frac{\pi \sqrt{Q}}{2a} \right) V + 0.4 \left( \frac{\pi}{2a} \gamma \Lambda \right) H_x. \quad (15)$$

Численные факторы перед скобками показывают падение подвижности скрученных ВБЛ по сравнению с нескрученными (в скобках). Оно особенно значительно при прямом продвижении полем  $H_x$ . Для ВБЛ2 перед последним членом слева следует сменить знак. В [13] проводилось экспериментальное изучение подвижности ВБЛ в поле  $H_x$ , причем для исследуемого образца ( $l=0.638$  мкм,  $Q=4.5$ ,  $h=1.97$  мкм,  $\alpha=0.086$ ,  $\gamma=1.785 \cdot 10^7$  рад/с·э,  $4\pi M=103$  Гс) была получена подвижность 15 м/с·Э. Подвижность нескрученной ВБЛ велика (50 м/с·Э) по сравнению с экспериментальным значением, тогда как (15) дает более приемлемое значение — 20 м/с·Э.

Продвижение 360° пары полем  $H_x$  невозможно, так как  $\sin \overline{\psi^{(0)} \psi_{,z}^{(0)}}=0$ . Если ВБЛ1 и ВБЛ2 (рис. 2) хорошо разделены, то значения коэффициентов (14) удваиваются. Скорость пары в этом пределе совпадает с гиротропной частью (15). К сожалению, в настоящее время неизвестны даже численные решения для скрученной пары статических уравнений Слончевского. Поэтому реальное значение ее подвижности определить не удастся. Расчет подвижности нескрученной 360° пары [14] показывает, что с уменьшением ее размеров происходит падение подвижности.

Уравнение (10) после подстановки в правую часть определенной скорости (15) позволяет найти форму движущейся ВБЛ. Возникающий продольный изгиб ВБЛ целиком обусловлен скрученностью. Проще сначала обратиться к 360° паре рис. 2, так как для нее  $\overline{\psi_{,z}^{(0)}}=2\pi$  постоянно и  $\overline{(\psi_{,z}^{(0)})^2}$  четно по  $z$ . Последняя функция непрерывна в приближении  $\epsilon=0$ , имеет минимум  $\overline{(\psi_{,z}^{(0)}(z=0))^2}=4$  (см. (11.2)) и монотонно возрастает при  $z \rightarrow \pm 1$ . Интегрируя (10) один раз, получаем

$$\varepsilon^2 X'(\psi, x)^2 = 2\pi V f(z),$$

$$f(z) \equiv \int_0^z [1 - 2 \frac{\overline{(\psi, x)^2}}{\overline{(\psi, x)^2}}], \quad (16)$$

где по (14)  $\overline{(\psi, x)^2} = 12$ .

В силу перечисленных выше свойств на интервале  $0 \leq z \leq 1$  антисимметричная функция  $f(z) > 0$ . Отсюда следует, что движущаяся пара изгибается вперед по ходу движения  $\dot{X} < 0$  своей центральной, менее скрученной частью, как показано на рис. 2. Интегрирование (16) с функциями из (11) затруднено их сложным видом, поэтому интерполируем (11) удовлетворяющим необходимым требованиям выражением  $\overline{(\psi, x)^2} = 4(1 + 3/2 z^2)$ . Тогда получим изгиб

$$X(z) = \frac{V}{\varepsilon^2} \frac{\pi}{18} \left[ \frac{5}{3} \ln \left( \frac{2}{3} + z^2 \right) - z^2 \right], \quad (17)$$

который удовлетворяет граничным условиям  $X'(\pm 1) = 0$ . Величина изгиба  $X(1) - X(0) = 0.1 \cdot V / \varepsilon^2$ . Оценки показывают, что в условиях работы [10] ( $\pi \Delta = 0.41$  мкм,  $h = 2$  мкм,  $V \sim 1/2$ ) изгиб мал, но следует помнить, что он растёт с уменьшением  $\varepsilon$ .

В поле  $H_x$  разделенные ВБЛ1 и ВБЛ2 рис. 2 движутся навстречу друг другу. Рассмотрим свободное движение ВБЛ1, для которой

$$\varepsilon^2 X' \overline{(\psi, x)^2} = H_x \int_{-1}^z |(\sin \psi^{(0)} \psi, x) \cdot \overline{(\psi, x)^2} / \overline{(\psi, x)^2} - (\sin \psi^{(0)} \psi, x)| dz, \quad (18)$$

где все величины определены (11), (12) и (14).

Граничное условие при  $z = -1$  удовлетворяется автоматически. Однако при  $z \rightarrow z_0$  граничное условие не выполняется: правая часть (18) ведет себя как  $(z_0 z)^{3/2}$  и точно также ведет себя величина  $\overline{(\psi, x)^2}$  в левой части. Дело в том, что помимо использованной разрешимости по Фредгольму должно еще выполняться некоторое условие на поведение коэффициента при  $X'$  в граничных точках. Этот коэффициент должен стремиться к нулю медленнее правой части, иначе существование конечного решения не гарантировано. Возникший парадокс связан, конечно, с приближением  $\varepsilon^2 = 0$ , в котором вычислялись коэффициенты (18). Но эта аномальная область вблизи критической линии мала  $\sim \varepsilon$ , локальный топологический заряд  $s(z)$  (6) в ней мал, как и величина (11), так что ее влияние в целом на динамику ВБЛ1 несущественно.

Исследование правой части (18), аналогичное проделанному для (16), показывает, что ВБЛ1 и ВБЛ2 также изгибаются вперед по ходу движения своими менее скрученными частями, примыкающими к критическим линиям, как показано на рис. 2. Конечно, в линейном приближении допустимы лишь малые изгибы  $\Delta X \sim \Delta$ , но численные эксперименты [13] показывают, что продольные изгибы достигают  $\sim h/5$ . Аналогичные результаты справедливы и при гиротропном продвигении скрученных ВБЛ движущейся со скоростью  $V$  ДГ.

При переходе к нестационарной динамике важно сначала определить поперечный (по оси  $y$ ) прогиб ДГ  $q^{(1)}(z, x)$  по уравнению (8. 1), в левой части которого скорость  $\dot{X}$  теперь определена. Если жесткость ДГ мала  $\kappa^2 < 1$ , что и имеет место в обычных условиях, то

$$\frac{q^{(1)}(x, z)}{\Delta} = \frac{\pi s(z) X, t}{8 \Delta \gamma M \kappa} \exp(-\kappa |x| / \Delta), \quad (19)$$

где  $s(z)$  (6).

В этом приближении размер поперечного прогиба ДГ  $\Delta x = \Delta / \kappa$  превосходит ширину ВБЛ. Опущенный вклад  $\varepsilon^2 q_{,zz}^{(1)}$  существен лишь в приповерхностных областях пленки (погранслои  $\sim \varepsilon h/2$ ) и на критических линиях.

Известная величина прогиба (19) позволяет определить массу — по терминологии [4] продольную — скрученной ВБЛ. В силу малости  $\kappa^2$  основная часть кинетической энергии ВБЛ сосредоточена в прогибе (19) [3, 4]. Вычисляя энер-

тию  $\text{ДГ } \bar{E}(z) = \bar{q}$ ,  $+x^2 \bar{q}_x^2$  и определяя линейную плотность массы как  $m(z) = (1/2) \delta^2 \bar{E} / \delta X_z^2$ , получаем

$$m(z) = m_0 s^2(z), \quad (20)$$

где  $m_0 = \pi / (4 \times \gamma^2 \sqrt{Q})$  — плотность массы нескрученной  $180^\circ$  ВБЛ [ $3^{-5}$ ].

Характерна зависимость  $m_0 \sim \kappa^{-1}$ , полученная для ВБЛ в ДГ ЦМД еще в [15]. Магнитодипольный вклад «магнитных зарядов» на поверхностях пленки [18; 17] здесь опущен: он увеличивает  $m_0$ .

Теперь с учетом (10), (20) запишем уравнение для скрученных ВБЛ в размерном виде

$$m(z) X_{,tt} + \alpha \frac{E(z)}{4\pi\gamma M \Delta \Lambda} X_{,t} - [E(z) X_{,z}]_{,z} + \\ + 4\Delta \lambda \frac{\partial U(X, z)}{\partial X} = - \frac{2\pi M V}{\gamma} s(z) + \pi \Delta M H_x \rho(z), \quad (21)$$

Здесь  $m(z)$  — локальная масса ВБЛ (20);  $E(z) = 4\Delta A \overline{\psi_x^{(0)}}^2$  — линейная плотность энергии ВБЛ ( $A$  — обменная константа, энергия  $180^\circ$  ВБЛ  $E = 8\Delta A / \Lambda$ );  $U(X, z)$  — энергия ВБЛ в потенциале ячеек регистра сдвига;  $V = \bar{q}$  — скорость ДГ, которая определяется из уравнения  $\bar{q} + \mu H' q = \mu H_x$  [6-8] ( $H_x$  — нормальное к плоскости пленки магнитное поле,  $\mu = \gamma \Delta / \alpha$  — подвижность ДГ);  $\rho(z) = \sin \psi_x^{(0)} \psi_x^{(0)}$  — безразмерный «магнитный заряд» ВБЛ (12); остальные обозначения были введены в связи с (1). Уравнение (20) справедливо для скоростей ДГ ниже пиковой скорости Слончевского при условии, что все характерные частоты ВБЛ лежат ниже основного резонанса ДГ.

Переход от (21) к «сокращенному» уравнению возможен, если вклад изгибной жесткости — третий член слева в (21) доминирует над всеми остальными. Тогда условие разрешимости, аналогичное использованному при переходе от (10) к (13), позволяет получить уравнение, в котором перенормированные за счет скрученности коэффициенты не зависят от  $z$ ,

$$\bar{m} \ddot{X} + \frac{\bar{m}}{\tau} \dot{X} + 4\Delta \lambda \frac{\partial U(X)}{\partial X} = - \frac{2\pi M}{\gamma} V + (0.6) 2\pi \Delta M H_x. \quad (22)$$

Здесь средняя масса изолированной ВБЛ,  $\bar{m} = m_0 s^2(z) \simeq 1.6 m_0$  получена численным интегрированием (в [11]  $\bar{m} = (4/3) m_0$ ); время релаксации ВБЛ  $\tau = (2/3) \tau_0$ , где  $\tau_0 = m_0 \gamma \sqrt{Q} / 4M\alpha$  — время релаксации нескрученной ВБЛ; потенциал  $U(X)$  получается усреднением  $U(X, z)$  по  $z$ . Следует отметить, что условия перехода от (21) к (22) выполняются плохо в силу  $\epsilon < 1$ . Для  $360^\circ$  пары масса  $\bar{m} = 4m_0$  не перенормируется, так как в (20)  $s(z) = 2$ , время релаксации по-прежнему уменьшается на фактор  $2/3$ , вклад поля  $H$  отсутствует, скорость  $V$  следует увеличивать вдвое, как и в нескрученном случае.

Уравнение (22) учитывает лишь нижнюю моду дифференциального оператора в (21). Исследование высших изгибных скрученных ВБЛ численными методами проводилось в [15]; в [18] рассматривался нескрученный случай. Не касаясь здесь вопроса о спектре изгибных колебаний ВБЛ на основании (21), отметим только, что спектр состоит из квазиклассического ряда уровней  $\sim \epsilon \omega_0 n$ , где  $\omega_0$  — основная частота,  $n > 1$ ,  $\epsilon = 2\Delta / h < 1$ .

Уравнение (21) вместе с уравнением для ДГ должно использоваться при анализе движения ВБЛ в узлах схемы памяти. Наибольший интерес представляет ОУР сдвигового регистра  $360^\circ$  пар на фазовой плоскости «амплитуда перебрасывающего импульса поля  $H_x$  — время следования импульсов  $T$ ».  $T$  складывается из времени переброса ВБЛ в соседнюю яму  $T_j$  под действием  $H_x$  и времени релаксации ее в этой яме  $T_r$ . Важную роль играет форма импульса, но очень грубо:  $T = (3/2) T_{0j} + (2/3) T_{0r}$ , где  $T_{0j, r}$  относятся к нескрученному случаю. Часто  $T_r$  «обрезают» задним фронтом несимметричного импульса  $H_x$ . Тогда для сохранения быстродействия необходимо увеличить  $H_x$  в 1.5 раза. Это очень опасная тенденция, так как скорость ДГ может превысить пиковую и в устройстве наступит сбой. Но, с другой стороны, скрученность понижает взаимодействие между ВБЛ на больших расстояниях на фактор  $\sim (0.6)^2$  [12]. Таким образом, понижа-

ются требуемые значения  $U(X)$  и  $H_z$ , так что в сумме обе тенденции могут быть скомпенсированы.

С изолированными ВБЛ приходится оперировать в узлах генерации и детектирования. Воздействие поля  $H_x$  не эффективно:  $T = (\frac{1}{2})T_{0j} + 0.9T_{0r}$ , и для сохранения быстродействия требуются увеличенные значения  $H_x$ . Но уже в полях  $H_x \leq 8\pi M (\Lambda/h)^2$  в ДГ спереди по ходу ВБЛ образуются блоховские петли, портящие регистр. В [13] насыщение скорости наступает в полях  $H_x \sim 10$  Э (формула [2] дает 15 Э). Продвижение полем  $H_x$  здесь более эффективно. Нежелательные изгибы ВБЛ могут быть подавлены либо увеличением  $U(X)$ , либо увеличением периода схемы.

Наконец, явная зависимость от  $z$  потенциала  $U(X, z)$  в (21) вместе с несимметричной по  $z$  структурой ВБЛ (рис. 2) показывает, что пространственная локализация потенциала ячейки у поверхности пленки должна превосходить  $(h/2)(1-z_0) = h/8$  — размер квазинееелевской области скрученной ДГ.

### Список литературы

- [1] Раев В. К., Андреев А. К., Ходенков Г. Е., Ляшенко Е. П. А. С. 780039. БИ. 1980. № 42.
- [2] Малоземов А., Слонзуски Дж. Доменные стенки в материалах с ЦМД. М.: Мир, 1982. 382 с.
- [3] Звездин А. К., Попков А. Ф. // Письма в ЖЭТФ. 1985. Т. 41. Вып. 3. С. 90—92.
- [4] Никифоров А. В., Сокин Э. Б. // ЖЭТФ. 1986. Т. 90. Вып. 5. С. 1309—1316.
- [5] Звездин А. К., Попков А. Ф. // ЖЭТФ. 1986. Т. 91. Вып. 5. С. 1789—1798.
- [6] Попков А. Ф., Редько В. Г. // ЖТФ. 1988. Т. 58. Вып. 12. С. 2383—2386.
- [7] Редько В. Г. // Микроэлектроника. 1989. Т. 18. № 1. С. 72—77.
- [8] Попков А. Ф., Зюбин В. В. // Микроэлектроника. 1989. Т. 18. № 2. С. 166—174.
- [9] Ferrand B., Armand H. F., Daval H., Arnaud L. // IEEE Trans. Magn. 1987. Vol. MAG-23. N 5. P. 3391—3393.
- [10] Fujita E., Konishi S. // Jap. J. Appl. Phys. 1987. Vol. 26. N 9. P. 1493—1497.
- [11] Звездин А. К., Попков А. Ф., Сереченко В. А. // ФММ. 1988. Т. 65. № 5. С. 877—881.
- [12] Ходенков Г. Е. // ФММ. 1988. Т. 65. № 6. С. 1059—1067.
- [13] Theille J., Engemann J. // IEEE Trans. Magn. 1988. Vol. MAG-24. N 2. P. 1781—1783.
- [14] Ходенков Г. Е. // ФТТ. 1979. Т. 21. Вып. 6. С. 1609—1614.
- [15] Jantz W., Slonczewski J. C., Argyle B. E. // JMMM. 1981. Vol. 23. N 1. P. 8—11.
- [16] Ходенков Г. Е. // ЖТФ. 1987. Т. 57. Вып. 6. С. 1170—1172.
- [17] Попков А. Ф. // ЖТФ. 1988. Т. 58. Вып. 8. С. 1548—1550.
- [18] Куфаев Ю. А., Сокин Э. Б. // ФТТ. 1988. Т. 30. Вып. 11. С. 3372—3379.

Институт электронных управляющих машин  
Москва

Поступило в Редакцию  
2 февраля 1990 г.